

이중크랙을 가진 단순지지 보의 자유진동 해석

Free Vibration Analysis of Simply Supported Beam with Double Cracks

안 성 진*·손 인 수**·윤 한 익†
Sung-Jin Ahn, In-Soo Son and Han-Ik Yoon

Key Words : Free Vibration(자유진동), Simply Supported Beam(단순지지 보), Double-crack(이중크랙), Eigenvalue(고유치), Flexibility Matrix(유연행렬)

ABSTRACT

In this paper we studied about the effect of the double cracks on the dynamic behavior of a simply supported beam. The equation of motion is derived by using Lagrange's equation and analyzed by numerical method. The simply supported beam is modeled by the Euler-Bernoulli beam theory. The crack section is represented by a local flexibility matrix connecting three undamaged beam segments. The influences of the crack depth and position of each crack on the vibration mode and the natural frequencies of a simply supported beam are analytically clarified. The theoretical results are also validated by a comparison with experimental measurements.

1. 서 론

크랙은 구조물의 불안정을 증대시켜 구조물의 진동특성과 안정성을 변화시키며, 이러한 크랙은 실제로 구조물에서 2 개 이상 존재할 가능성이 있으며 이로 인하여 더욱 복잡한 진동현상을 수반하게 된다. 따라서 2 개 이상의 크랙이 존재하는 경우 각 크랙의 위치와 크기에 따른 상호 연성관계에 의한 구조물의 동적특성을 파악하는 것은 구조물의 안정성 확보에 중요한 문제라 할 수 있다. 크랙과 종동력을 고려한 보에 대한 연구는 티모센코 보 이론을 적용하여 크랙과 종동력이 보의 동적 안정성 및 동적응답에 미치는 영향에 대한 연구결과⁽¹⁾가 있으며, 크랙과 이동질량을 가진 보 형태 구조물의 응답 및 진동수 변화에 대한 많은 연구결과들이 발표되어지고 있다.^(2~4) 그러나 이들의 연구는 단일크랙(single crack)을 대상으로 한 경우가 대부분이며 이중크랙(double cracks)이 있는 보를 대상으로 한 연구는 소수에 불과하다. Ostashowicz 등⁽⁵⁾은 외팔보의 단면 및 양면에 2 개의 개구형 크랙이 존재하는 경우를 가정하여 해석적인 방법으로 두 크랙의 위치 및 깊이를 변수로 1 차 고유진동수의 변화를 고찰하였으며,

Sekhar⁽⁶⁾는 단순지지 상태의 금속재료의 로터에 대하여 유한요소해석으로 2 개의 횡방향 개구형 크랙의 상호 위치 및 깊이를 변수로 하여 고유진동수, 모드형상 및 위험속도 한계 등을 분석하였다. 또 Douka 등⁽⁷⁾은 2 개의 크랙이 존재하는 외팔보에 수직하중이 작용하는 경우 각 크랙의 크기에 따른 외팔보의 고유진동수 변화를 예측하는 방법을 제시하였다.

이 연구에서는 이중크랙이 존재하는 단순지지 보의 자유진동에 대하여 해석하였다. 크랙의 위치와 크기가 단순지지 보의 진동특성에 미치는 영향에 대하여 수치해석 하였으며, 이 결과를 실험을 통하여 확인하였다. 단순지지 보의 해석은 오일러-베르누이 보 이론을 적용하였으며, 크랙은 비진전, 개구형 크랙이라 가정하였다.

2. 시스템 모델

Fig. 1 은 이중크랙을 가진 단순지지 보를 나타낸다. 여기서 L 은 단순지지 보의 전체 길이를 나타내며, x_{c1} 과 x_{c2} 는 크랙 위치를 나타낸다. 단순지지 보에서 각 크랙의 위치를 기준으로 세 부분으로 분리하여 모델링 하였으며, 크랙 위치에서는 크랙의 영향에 의한 파괴역학적 변수를 회전스프링 상수(K_{R1} , K_{R2})로 변환하여 수치해석에 이용하였다. Fig. 2 의 b 와 h 는 각각 사각 단면 보의 가로와 높이의 길이를 나타낸다.

† 윤한익 : 동의대학교 기계공학부

E-mail : hiyoon @ deu.ac.kr

Tel : (051) 890-1645, Fax : (051) 890-2232

* 동의대학교 대학원 기계공학과

** 동의대학교 산업기술개발연구소

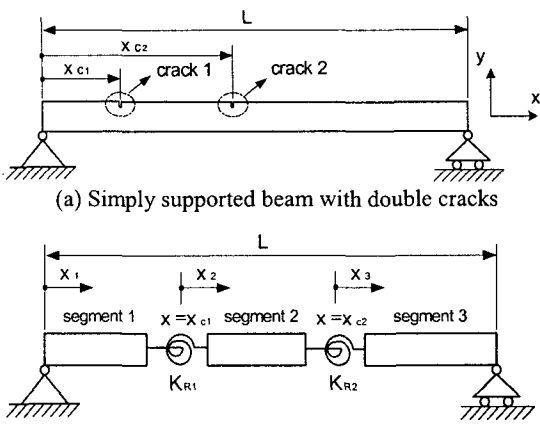


Fig. 1 Geometry of simply supported double-cracked beam

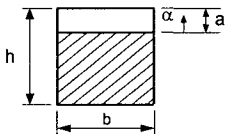


Fig. 2 Geometry of the cracked section of the beam

2.1 에너지식

단순지지 보의 횡변위는 가정모드법을 이용하여 다음과 같이 표현할 수 있다.

$$y_k(x, t) = \sum_{i=1}^{\mu} \phi_{ik}(x) q_i(t) \quad (1)$$

여기서 $q_i(t)$ 는 일반화 좌표, μ 는 모드의 수를 나타낸다. 또, 크랙을 가진 단순지지 보의 고유함수 $\phi_i(x)$ 는 크랙이 존재하는 위치를 기준으로 다음과 같이 표현할 수 있다.

I) segment 1 ($0 \leq x \leq x_{c1}$) :

$$\begin{aligned} \phi_{i1}(x) &= A_1 \cos(\lambda_i x) + A_2 \sin(\lambda_i x) \\ &\quad + A_3 \cosh(\lambda_i x) + A_4 \sinh(\lambda_i x) \end{aligned} \quad (2)$$

II) segment 2 ($x_{c1} \leq x \leq x_{c2}$) :

$$\begin{aligned} \phi_{i2}(x) &= A_5 \cos(\lambda_i x) + A_6 \sin(\lambda_i x) \\ &\quad + A_7 \cosh(\lambda_i x) + A_8 \sinh(\lambda_i x) \end{aligned} \quad (3)$$

III) segment 3 ($x_{c2} \leq x \leq L$) :

$$\begin{aligned} \phi_{i3}(x) &= A_9 \cos(\lambda_i x) + A_{10} \sin(\lambda_i x) \\ &\quad + A_{11} \cosh(\lambda_i x) + A_{12} \sinh(\lambda_i x) \end{aligned} \quad (4)$$

여기서 λ_i 는 단순지지 보의 진동수 방정식으로부터 쉽게 구할 수 있다. 식(2)~식(4)에서 미지수 A_1, A_2, \dots, A_{12} 는 단순지지 보의 경계조건과 크랙 위치에서의 연속조건에 대입하여 구할 수 있다.

$$\text{at } x = 0, \quad \phi_{i1}(0) = 0 \quad \text{and} \quad \frac{\partial^2 \phi_{i1}(0)}{\partial x^2} = 0, \quad (5)$$

$$\text{at } x = L, \quad \phi_{i3}(L) = 0 \quad \text{and} \quad \frac{\partial^2 \phi_{i3}(L)}{\partial x^2} = 0$$

$$\begin{aligned} \phi_{i1}(x_{c1}) &= \phi_{i2}(x_{c1}), \quad \frac{\partial^2 \phi_{i1}(x_{c1})}{\partial x^2} = \frac{\partial^2 \phi_{i2}(x_{c1})}{\partial x^2}, \\ \frac{\partial^3 \phi_{i1}(x_{c1})}{\partial x^3} &= \frac{\partial^3 \phi_{i2}(x_{c1})}{\partial x^3}, \end{aligned} \quad (6)$$

$$\frac{\partial \phi_{i2}(x_{c1})}{\partial x} - \frac{\partial \phi_{i1}(x_{c1})}{\partial x} = \frac{EI}{K_{R1}} \frac{\partial^2 \phi_{i2}(x_{c1})}{\partial x^2}$$

$$\phi_{i2}(x_{c2}) = \phi_{i3}(x_{c2}), \quad \frac{\partial^2 \phi_{i2}(x_{c2})}{\partial x^2} = \frac{\partial^2 \phi_{i3}(x_{c2})}{\partial x^2},$$

$$\frac{\partial^3 \phi_{i2}(x_{c2})}{\partial x^3} = \frac{\partial^3 \phi_{i3}(x_{c2})}{\partial x^3}, \quad (7)$$

$$\frac{\partial \phi_{i3}(x_{c2})}{\partial x} - \frac{\partial \phi_{i2}(x_{c2})}{\partial x} = \frac{EI}{K_{R2}} \frac{\partial^2 \phi_{i3}(x_{c2})}{\partial x^2}$$

중력의 영향을 무시하고, 이중크랙을 가진 단순지지 보의 에너지식을 구할 수 있다.⁽³⁾ 또, 선형 탄성구간에서 Castigliano의 정리에 의하여 크랙에 의해서 부가되는 변위와 크랙 부분의 유연행렬을 각각 구할 수 있으며, 해석에 필요한 회전 스프링 상수는 영향이 가장 큰 제 1 파괴모드에 해당하는 항만을 고려하여 계에 적용하였다.

2.2 계의 운동방정식

계의 운동방정식은 에너지식을 Lagrange 방정식에 대입하여 구할 수 있으며 구해진 계의 운동방정식은 다음과 같은 행렬 형태를 가진다.

$$\mathbf{M}\ddot{\mathbf{q}} + \mathbf{K}\mathbf{q} = \mathbf{0} \quad (8)$$

여기서 \mathbf{M} 과 \mathbf{K} 는 다음과 같다.

$$\mathbf{M} = \sum_{i=1}^{\mu} m \left[\int_0^{x_{c1}} \phi_{i1}^2(x) dx + \int_{x_{c1}}^{x_{c2}} \phi_{i2}^2(x) dx + \int_{x_{c2}}^L \phi_{i3}^2(x) dx \right] \quad (9)$$

$$\begin{aligned} \mathbf{K} &= \sum_{i=1}^{\mu} \left[EI \left[\int_0^{x_{c1}} \{\phi_{i1}^*(x)\}^2 dx + \int_{x_{c1}}^{x_{c2}} \{\phi_{i2}^*(x)\}^2 dx \right. \right. \\ &\quad \left. \left. + \int_{x_{c2}}^L \{\phi_{i3}^*(x)\} dx \right] + K_{R1} \left(\frac{\partial \phi_{i2}(x_{c1})}{\partial x} - \frac{\partial \phi_{i1}(x_{c1})}{\partial x} \right)^2 \right. \\ &\quad \left. + K_{R2} \left(\frac{\partial \phi_{i3}(x_{c2})}{\partial x} - \frac{\partial \phi_{i2}(x_{c2})}{\partial x} \right)^2 \right] \end{aligned} \quad (10)$$

3. 실험

이중크랙이 있는 단순지지 보의 고유진동수를 실험을 통하여 측정하였다. 실험에 이용한 단순지지 보는 길이가 0.4 m, 단면은 $0.01 \times 0.01 \text{ m}^2$ 의 사각단면 이다.

보의 탄성계수 $E = 2.16 \times 10^{11} \text{ N/m}^2$ 이고 밀도 $\rho = 7650 \text{ kg/m}^3$ 이다. Fig. 3 은 본 실험의 실험장치의 구성을 나타낸다. 여기서 Impact hammer(DYTRAN, series 5801 A), 가속도계(B&K, type 4507), 신호분석기(CADA-X 3.5D)로 실험하였다.

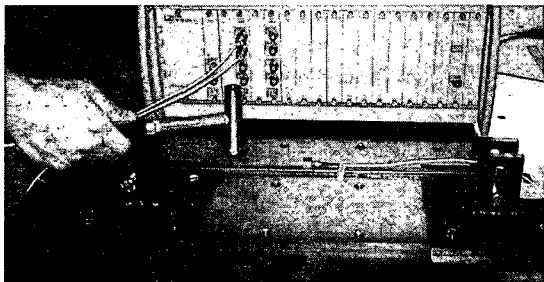


Fig. 3 Experiment set-up of a simply supported beam with double cracks

4. 결과 및 고찰

이 논문에서는 이중크랙을 가진 단순지지 보의 고유진동수에 미치는 이중 크랙의 영향을 이론적 해석과 실험적 결과를 통하여 연구하였다. 운동방정식의 유도와 해석은 Lagrange 방정식 및 4 차의 Runge-Kutta 법으로 수행하였으며, 크랙의 위치와 깊이는 다음의 무차원화된 값을 이용하였다.

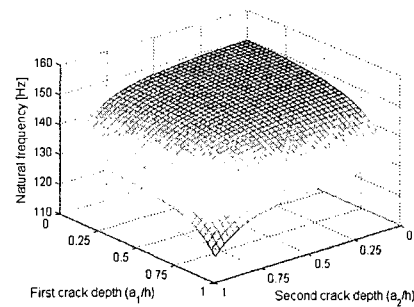
$$\xi_{c1,2} = \frac{x_{c1,2}}{L}, \quad H_{1,2} = \frac{a_{1,2}}{h} \quad (11)$$

Table. 1 Natural frequency of a simply supported beam with double cracks for the first mode ($\xi_{c2} = 0.5$, $H_1 = 0.5$)

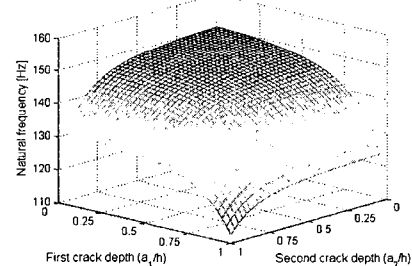
First crack position : ξ_{c1}	Second crack depth : H_2	Natural frequency [Hz]		Error(%) : $ E-T /E \times 100$
		T : Theory	E : Experiment	
0.1	0.1	148.96	149.5	0.36
	0.3	146.56	146.8	0.16
	0.5	137.30	139.8	1.79
0.3	0.1	141.89	142.0	0.08
	0.3	139.81	140.8	0.70
	0.5	131.72	134.5	2.06

Table 2 Natural frequency of a simply supported beam with double cracks for the first mode

First crack position	Second crack position	$H_1(a_1/h) = 0.5$			$H_2(a_2/h) = 0.5$	
		$\xi_{c1} = x_{c1}/L$	$\xi_{c2} = x_{c2}/L$	$H_2 = 0.1$	$H_2 = 0.3$	$H_2 = 0.5$
0.1	0.2	149.16	148.31	144.71	145.92	145.69
	0.5	148.96	146.56	137.30	138.29	138.11
	0.7	149.07	147.48	141.07	142.13	141.93
0.3	0.4	141.91	140.01	132.52	139.17	145.69
	0.5	141.89	139.81	131.72	138.16	138.11
	0.7	141.98	140.63	135.11	141.98	140.63
0.5	0.6	138.09	136.35	129.44	139.08	137.12
	0.7	138.16	136.89	131.72	141.89	139.81
	0.8	138.23	137.56	134.71	145.66	143.42



(a) $\xi_{c1} = 0.3$, $\xi_{c2} = 0.7$



(b) $\xi_{c1} = 0.5$, $\xi_{c2} = 0.7$

Fig. 4 Contours of natural frequency of double-cracked beam due to the crack depth for the first mode

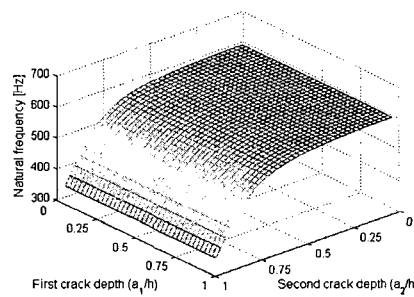


Fig. 5 Contours of natural frequency of double-cracked beam due to the crack depth for the second mode ($\xi_{c1} = 0.5$, $\xi_{c2} = 0.7$)

5. 결 론

이중크랙을 가진 단순지지 보의 고유진동수에 미치는 크랙의 깊이와 위치에 따른 영향을 수치 해석하였으며, 실험을 통하여 이를 확인하였다. 단순지지 보는 오일리-베르누이 보의 이론에 적용하였으며, 운동방정식의 유도는 Lagrange 방정식을 이용하였다. 이중크랙을 가진 단순지지 보는 크랙이 존재하는 부분에서 회전 탄성스프링에 의해 연결되었다고 가정하였다. 크랙의 위치가 일정할 때 이중크랙을 가진 단순지지 보의 고유진동수는 크랙의 깊이에 반비례하고 첫번째 크랙이 단순지지 보의 중간에 존재할 때 단순지지 보의 고유진동수는 크랙의 위치변화에 매우 민감함을 알 수 있다.

참고문헌

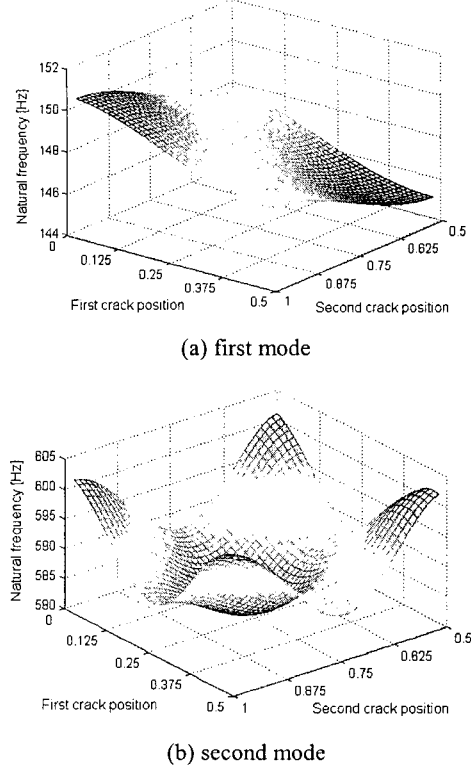


Fig. 6 Contours of natural frequency of double-cracked beam due to the crack position
($H_1 = 0.3$, $H_2 = 0.3$)

Table. 1 은 이중크랙을 가진 단순지지 보의 1 차 모드의 고유진동수를 실험 값과 이론적 결과값을 서로 비교한 것이다. 실험과 이론의 오차가 가장 큰 것이 2.06%이므로, 실험 값과 이론의 결과값이 잘 일치 함을 알 수 있다. Table. 2 는 각 크랙의 깊이와 위치에 따른 이중크랙을 가진 단순지지 보의 고유진동수를 나타내었다.

Fig. 4~6 은 이중크랙을 가진 단순지지 보의 고유진동수에 미치는 크랙의 영향을 나타낸 것이다. Fig. 4 와 Fig. 5 는 첫번째 크랙의 위치가 단순지지 보의 원쪽 지지대로부터 0.5 인 지점에, 그리고 두번째 크랙이 0.7 인 지점에 존재할 때, 크랙의 깊이에 따른 단순지지 보의 고유진동수 변화를 나타낸 것이다. Fig. 6 은 첫번째와 두번째 크랙의 깊이가 모두 0.3 일 때, 크랙의 위치에 따른 단순지지보의 고유진동수 변화를 나타낸 것이다. 크랙의 위치가 일정할 때 이중크랙을 가진 단순지지 보의 고유진동수는 크랙의 깊이에 따라 반비례함을 알 수 있다.

(1) Takahashi, I., 1999, "Vibration and Stability of non-uniform Cracked Timoshenko Beam Subjected to Follower Force," Computers and Structures, Vol. 71, pp. 585 ~ 591.

(2) Mahmoud, M. A. and Abou Zaid, M. A., 2002, "Dynamic Response of a Beam with a Crack Subject to a Moving Mass," Journal of Sound and Vibration, Vol. 256 No. 4, pp. 591 ~ 603.

(3) Yoon, H. I. and Son, I. S., 2002, "Dynamic Characteristics of Cantilever Pipe Conveying Fluid with the Moving Masses," Transactions of the KSNVE in Korea, Vol. 12, No. 7, pp. 550 ~ 556.

(4) Yoon, H. I., Jin, J. T. and Son, I. S., 2004, "A Study on the Dynamic Behavior of Cracked Pipe Conveying Fluid Using Theory of Timoshenko Beam," Transactions of the KSNVE in Korea, Vol. 14, No. 3, pp. 236 ~ 243.

(5) Ostachowicz, W. M. and Krawczuk, M., 1991, "Analysis of the Effect of Cracks on the Natural Frequencies of a Cantilever Beam," Journal of Sound and Vibration, Vol. 150, No. 2, pp. 191 ~ 201.

(6) Sekhar, A. S., 1999, "Vibration Characteristics of a Cracked Rotor with Two Open Cracks," Journal of Sound and Vibration, Vol. 223, No. 4, pp. 497 ~ 512.

(7) Douka, E., Bamnios, G. and Trochidis, A., 2004, "A Method for Determining the Location and Depth of Cracks in Double-cracked Beams," Applied Acoustics, Vol. 65, pp. 997 ~ 1008.